

УДК 681.3.06:519.65

МОДЕЛИРОВАНИЕ ПОВЕРХНОСТИ ЛОПАСТИ ГИДРОТУРБИНЫ

П.А. Турук

В в е д е н и е

Основопологающим моментом автоматизации расчетно-конструкторских и инженерно-технологических работ при создании рабочих колес гидротурбин является математическое моделирование их наиболее важного элемента - лопастей. При этом способ математического представления лопасти во многом определяет методы автоматизированного решения различных задач проектирования и подготовки производства, а также качество получаемых результатов. Рассматриваются лопасти поворотной-лопастных и радиально-осевых гидротурбин, и предлагается общая методика построения геометрической модели лопастей этих типов. Для определенности, она будет изложена на примере радиально-осевой гидротурбины.

Поверхность лопасти в общем случае условно можно разбить на четыре части: поверхность стороны всасывания, поверхность стороны нагнетания, входная поверхность и выходная поверхность (рис. 1). Наряду с лопастью рассматривается ее заготовка. Заготовка лопасти отличается от самой лопасти тем, что в ней отсутствует входная и выходная поверхности, а поверхности всасывания и нагнетания продлены так, что их меридианные проекции совпадают с меридианной проекцией всей поверхности лопасти. Под меридианной проекцией поверхности понимается ее проекция на плоскость (R, Z) относительно цилиндрической системы координат, в которой ось Z совпадает с осью вращения рабочего колеса.

С учетом характера задач проектирования и подготовки производства рабочих колес гидротурбин и алгоритмов их решения в качестве математической модели лопасти удобно принять совокупность

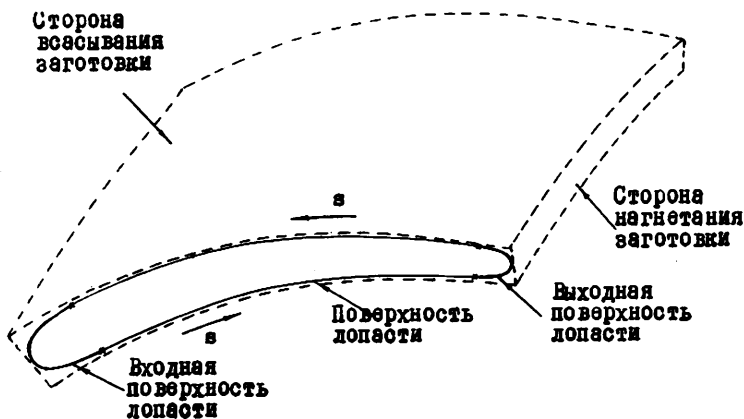


Рис. I

трех поверхностей: поверхность лопасти, поверхности всасывания и нагнетания заготовки. Каждая из них представляется в виде W -сплайна [1].

Напомним, что W -сплайн есть вектор-функция со значениями в трехмерном евклидовом пространстве, определенная в прямоугольной области $\Omega: \{a \leq t \leq b, c \leq s \leq d\}$ вещественных переменных t и s в виде:

$$\vec{W}(t, s) = \{w_x(t, s), w_y(t, s), w_z(t, s)\},$$

где $w_x(t, s), w_y(t, s), w_z(t, s)$ - кубические сплайн-функции, заданные на прямоугольной сетке $\Delta = \Delta_t \times \Delta_s$, $\Delta_t: a = t_1 < t_2 < \dots < t_N = b$, $\Delta_s: c = s_1 < s_2 < \dots < s_M = d$.

Если фиксировать один из параметров, например $s = s^*$, то уравнение $\vec{W} = \vec{W}(t, s^*)$ опишет линию на поверхности. Такие кривые называются координатными линиями. Условимся координатные линии для фиксированного значения параметра s считать линиями первого семейства, а координатные линии для фиксированного значения параметра t считать линиями второго семейства. Введем следующую параметризацию поверхности лопасти. Будем считать, что параметр t растет от верхнего обода к нижнему ободу лопасти гидротурбины (рис.2), а

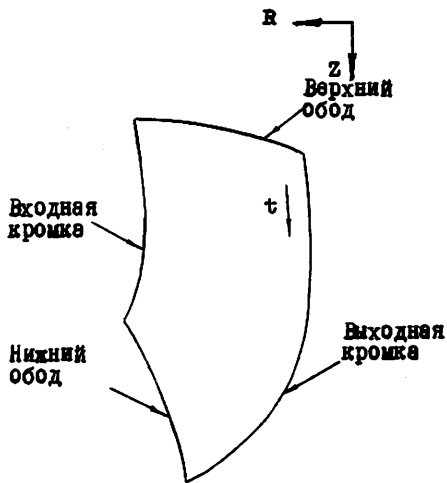


Рис. 2

поверхности лопасти, когда известны поверхности сторон всасывания и нагнетания ее заготовки. Способ построения выходной поверхности не отличается от способа построения входной поверхности. Поэтому рассмотрим только построение входной поверхности.

§1. Построение входной поверхности

Входная поверхность должна удовлетворять следующим условиям:

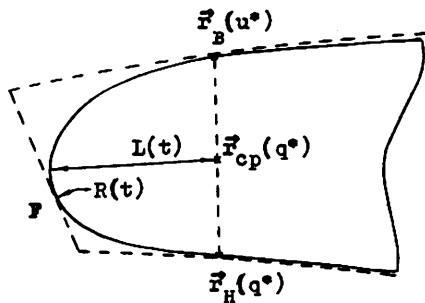


Рис. 3

параметр z увеличивается в направлении от выходной кромки по поверхности всасывания к входной кромке, далее по поверхности нагнетания — к выходной кромке (рис. 1). Аналогичным образом вводится параметризация поверхностей всасывания и нагнетания заготовки.

Прием построения поверхностей заготовки рассмотрен в статье [2]. В настоящей статье рассматривается методика построения входной и выходной поверхностей, а также всей по-

а) поскольку меридианная проекция всей лопасти и ее заготовки совпадает, то входная поверхность соприкасается вдоль некоторой линии Γ с поверхностью вращения, образующей которой являются входные кромки поверхностей заготовки (рис.3);

б) в окрестности входной кромки радиус нормальной кривизны входной по-

верхности в направлении координатных линий $t = \text{const}$ должен соответствовать заданному закону распределения $R(t)$;

в) входная поверхность должна сопрягаться с поверхностями всасывания и нагнетания заготовки на расстоянии $L(t)$ от входной кромки. Следует отметить, что в общем случае эти линии сопряжения не являются координатными линиями для поверхностей заготовки.

Рассмотрим две координатные линии второго семейства на поверхностях заготовки, соответствующие значению параметра $t = t^*$. Возьмем их уравнения в виде $\vec{r}_H = \vec{w}_H(t^*, s) \equiv \vec{r}_H(q)$ и $\vec{r}_B = \vec{w}_B(t^*, s) \equiv \vec{r}_B(u)$, где $s, q, u \in [c, d]$. Для фиксированной точки на стороне нагнетания $\vec{r}_H = \vec{r}_H(q^*)$ найдется такая точка $\vec{r}_B = \vec{r}_B(u^*)$ на стороне всасывания, что углы наклона касательных к этим линиям в этих точках к вектору $\Delta \vec{r}(q^*, u^*) = \vec{r}_B(u^*) - \vec{r}_H(q^*)$ равны. Тогда точка $\vec{r}_{CP}(q^*) = (\vec{r}_B(u^*) + \vec{r}_H(q^*)) / 2$ принадлежит некоторой линии, которую в дальнейшем будем называть квазисрединной линией. Направление касательного вектора к этой линии с учетом введенной параметризации на поверхностях лопасти и ее заготовки определяется выражением:

$$\vec{r}'_{CP}(q^*) = (\vec{r}'_B(u^*)u'(q^*) + \vec{r}'_H(q^*)) / 2,$$

где

$$u'(q^*) = \frac{(\vec{r}'_1, \Delta \vec{r}) - (\Delta \vec{r}, \vec{r}'_H(q^*))}{(\Delta \vec{r}, \vec{r}'_B(u^*)) - (\vec{r}'_2, \Delta \vec{r})},$$

$$\vec{r}'_1 = \langle \vec{r}'_H(q^*) \rangle, \quad \vec{r}'_2 = \langle \vec{r}'_B(u^*) \rangle, \quad \Delta \vec{r} = \vec{r}'_1 - \vec{r}'_2,$$

(\vec{m}, \vec{r}) обозначает операцию скалярного произведения векторов \vec{m} и \vec{r} , а символ $\langle \cdot \rangle$ - операцию нормирования вектора. Выражение для $u'(q^*)$ следует из определения квазисрединной линии (см. первое уравнение в (1)).

I. I. Определение точки входной кромки. Для определения точки входной кромки $O(t^*)$ поступим следующим образом. Найдем точку D (рис. 4) как пересечение квазисрединной линии $\vec{r}_{CP}(q)$ с плоскостью P_1 , проходящей через точки A и B входных кромок заготовки, радиус-векторы которых соответственно равны $\vec{r}_A = \vec{r}_H(c)$, $\vec{r}_B = \vec{r}_B(d)$. Направление нормали \vec{n} к этой плоскости определим выражением $\vec{n} = \langle [\vec{r}_B \times (\vec{r}_B - \vec{r}_A)] \rangle$, где $[\vec{m} \times \vec{r}]$ - операция векторного произведе -

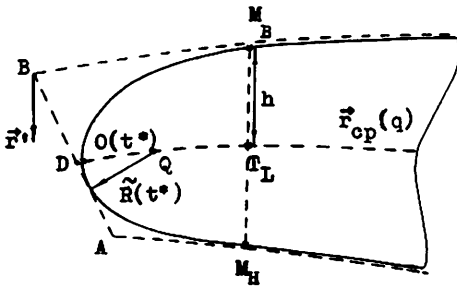


Рис. 4

ния векторов \vec{m}, \vec{r}^i ; \vec{r}_B^i - направление касательного вектора в точке B к координатной линии первого семейства.

Плоскость P_1 можно рассматривать как линейное приближение окрестности поверхности вращения, с которой должна соприкасаться координатная линия $t = t^*$ входной поверхности. Радиус

кривизны этой линии в окрестности точки $O(t^*)$ имеет величину $\tilde{R}(t^*) = R(t^*) \langle [\vec{r}_B^i \times \vec{r}_{cp}^i \times \vec{r}_B^i], \vec{r}_{cp}^i \rangle$, где $\vec{r}_{cp}^i = \langle \vec{r}_{cp}^i \rangle$ - касательный вектор к квазисрединной линии в точке D. Определим центр кривизны Q как точку, лежащую на квазисрединной линии на расстоянии $\tilde{R}(t^*) = \tilde{R}(t^*) \cdot |[\langle \vec{r}_B^i \times \vec{r}_{cp}^i \times \vec{r}_B^i \rangle \times \vec{r}_{cp}^i]|$ от плоскости P_1 путем решения системы уравнений (I) (см. п. I.2). Отложив от центра Q по отрезку DQ расстояние $\tilde{R}(t^*)$, получаем точку, которую можно принять в качестве точки входной кромки $O(t^*)$.

I.2. Определение точек сопряжения входной поверхности с поверхностями заготовки. Следующим шагом находятся точки сопряжения M_B и M_H координатной линии входной поверхности с координатными линиями поверхностей сторон всасывания и нагнетания заготовки. Рассмотрим плоскость P_2 , проходящую через точку входной кромки $O(t^*)$, нормальную отрезку DQ. Обозначим через \vec{r}_0 радиус-вектор точки $O(t^*)$, а \vec{n}_0 - направление нормали к плоскости P_2 . Точка T_L квазисрединной линии, отстоящая от этой плоскости на расстоянии $L(t^*)$, определяется путем решения системы следующих уравнений:

$$\left. \begin{aligned} \langle \vec{r}_H^i(q) - \vec{r}_B^i(u), \Delta \vec{r}(q, u) \rangle &= 0, \\ \langle \vec{r}_H^i(q) + \vec{r}_B^i(u) - 2(\vec{r}_0 + L\vec{n}_0), \vec{n}_0 \rangle &= 0. \end{aligned} \right\} \quad (1)$$

Первое равенство ставит в соответствие каждой точке $\vec{r}_H^i(q)$ одной стороны заготовки такую точку $\vec{r}_B^i(u)$ другой ее стороны, что $\vec{r}_{cp}(q) = (\vec{r}_B^i(u) + \vec{r}_H^i(q))/2$. Второе равенство означает, что точка $\vec{r}_{cp}(q)$ отстоит от плоскости P_2 на расстоянии L в направлении

нормали \vec{n}_0 . Таким образом, найденными путем решения этой системы значениями u_L, q_L определяются точки M_B, M_H на поверхностях заготовки, которые принимаются в качестве точек сопряжения (рис.4).

1.3. Построение координатной линии входной поверхности. По трем точкам M_B, O, M_H требуется построить координатную линию входной поверхности. С этой целью ей поставим в соответствие плоский симметричный профиль $M_B \tilde{O} \tilde{M}_H$ (рис.5), обладающий следующими свойствами:

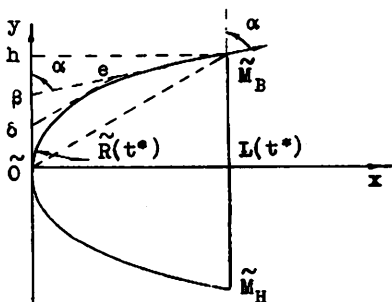


Рис. 5

- угол α наклона производных в точке $x = L(t^*)$ равен углу наклона касательного вектора в точке M_B к отрезку $M_B M_H$;

- координата y точки \tilde{M}_B равняется величине $h = 0,5 |\vec{r}_{M_B}^*|$ -
 $|\vec{r}_{M_H}^*|$;

- радиус кривизны в точке O равен $\tilde{R}(t^*)$;

- на отрезке $[O, L]$ сохраняется постоянный знак кривизны.

Аналитическое выражение для верхней положительной части профиля будем искать в виде кубической вектор-функции:

$$\vec{V}(v) = \vec{V}_0 F_1(v) + \vec{V}_1 F_2(v) + \vec{V}_2 F_3(v) + \vec{V}_3 F_4(v), \quad v \in [0, 1], \quad (2)$$

где

$$F_1(v) = (1-v)^2(1+2v);$$

$$F_2(v) = v^2(3-2v);$$

$$F_3(v) = v(1-v)^2;$$

$$F_4(v) = -v^2(1-v);$$

$$\vec{V}_0 = \vec{V}(0) = \{0, 0\};$$

$$\vec{V}_1 = \vec{V}(1) = \{L, h\};$$

$$\vec{V}_2 = \vec{V}'(v)|_{v=0} = \{0, p\};$$

$$\vec{V}_3 = \vec{V}'(v)|_{v=1} = \{g \sin \alpha, g \cos \alpha\}.$$

Здесь p и g - положительные произвольные величины. Выражением (2) обеспечивается выполнение первых двух свойств. Выберем значения p и g так, чтобы выполнялись оставшиеся два условия. Из формулы для

кривизны в точке \tilde{O} имеем:

$$\frac{|\vec{v}_0^i \times \vec{v}_0^n|}{|\vec{v}_0^i|^3} = \frac{1}{\tilde{R}(t^*)}$$

Подставив сюда выражения для \vec{v}_0^i, \vec{v}_0^n , окончательно получим соотношение:

$$\varepsilon = \frac{6\tilde{R}(t^*)L(t^*) - p^2}{2\tilde{R}(t^*) \sin \alpha} \quad (3)$$

Далее, перепишем (2) в виде кубического полинома в форме Безье:

$$\vec{V}(v) = (1-v)^3 \vec{F}_0 + 3v(1-v)^2 \vec{F}_1 + 3v^2(1-v) \vec{F}_2 + v^3 \vec{F}_3, \quad v \in [0, 1],$$

где $\vec{F}_0 = \vec{v}_0$, $\vec{F}_1 = \vec{v}_0^i/3 + 3\vec{v}_0$, $\vec{F}_2 = 3\vec{v}_1 - \vec{v}_1^i/3$, $\vec{F}_3 = \vec{v}_1$. Известно [3], что $\vec{V}(v)$ будет выпуклым вверх, если его характеристическая ломаная, проходящая через точки $\tilde{O}, \delta, e, \tilde{M}_B$ с радиусами-векторами $\vec{F}_0, \vec{F}_1, \vec{F}_2, \vec{F}_3$, образует выпуклый многоугольник. Потребуем дополнительно, чтобы второе звено δe многоугольника было параллельно хорде $\tilde{O}\tilde{M}_B$ (рис.5). Подобие треугольников $\tilde{O}\delta\tilde{M}_B$ и $\delta e\tilde{M}_B$ позволяет установить соотношение длин сторон δe и $\tilde{O}\tilde{M}_B$. Поскольку указанные стороны представлены соответственно векторами $\vec{F}_2 - \vec{F}_1 = \{3L(t^*) - (g \sin \alpha)/3, 3h - (g \cos \alpha)/3 - p/3\}$ и $\vec{F}_3 - \vec{F}_0 = \{L(t^*), h\}$, то имеем следующее равенство $(3L(t^*) - (g \sin \alpha)/3)h = (3h - (g \cos \alpha)/3 - p/3)L(t^*)$. Подставляя сюда выражение (3), получаем квадратное уравнение относительно величины p : $\beta p^2 + 2\gamma p - 6\beta\gamma = 0$, где $\beta = h - L(t^*) \operatorname{ctg} \alpha$, $\gamma = \tilde{R}(t^*)L(t^*)$. Поскольку нас интересует только положительный корень этого уравнения, то значение p записывается в виде:

$$p = \frac{(\sqrt{1 + 6\beta^2/\gamma^2} - 1)\gamma}{\beta} \quad (4)$$

Таким образом, соотношения (3) и (4) определяют выбор величин p и g . Легко убедиться, что $p > 0$ и $g > 0$ при условии $\beta > 0$. Геометрический смысл этого ограничения ясен из рис. 5.

Возьмем равномерную сетку по параметру v и определим значения вектор-функции $\vec{V}(v_1) = \{x_1, y_1\}$ в узлах этой сетки. Для каждого $L_1 = x_1$ решается система уравнений (I). Тем самым находятся

точки $\vec{r}_{\text{CP}}(q(x_1))$ квазисрединной линии, расположенные на расстоянии x_1 от плоскости P_2 , и соответствующие им точки на сторонах заготовки $\vec{r}_H(q(x_1))$, $\vec{r}_B(u(x_1))$. Далее вычисляются точки

$$\vec{r}(u(x_1)) = \vec{r}_{\text{CP}}(q(x_1)) + \langle \vec{\Delta F}(q(x_1), u(x_1)) \rangle y_1,$$

$$\vec{r}(q(x_1)) = \vec{r}_{\text{CP}}(q(x_1)) - \langle \vec{\Delta F}(q(x_1), u(x_1)) \rangle y_1,$$

которые принимаются в качестве узлов координатной линии входной поверхности.

§2. Построение всей поверхности лопасти

Окончательно построение всей поверхности лопасти состоит в следующем. Полагаем $t = t_1 = a$ и находим узлы соответствующей координатной линии входной поверхности. Аналогичным образом вычисляются узлы координатной линии выходной поверхности. Далее эту же процедуру осуществляем для $t = t_2$. Повторяем процесс для всех значений параметра t , соответствующих узлам исходной сетки Δ_x . В результате получаем узлы каркасов входной и выходной поверхностей.

На поверхностях всасывания и нагнетания заготовки имеем по две линии сопряжения с входной и выходной поверхностями, которые представлены множествами значений $\{s_{1B}(t_1)\}$, $\{s_{2B}(t_1)\}$, $\{s_{1H}(t_1)\}$, $\{s_{2H}(t_1)\}$ в области Ω параметров t, s . Теперь необходимо ввести такие параметризации на поверхностях заготовки, для которых линии сопряжения будут координатными линиями. Способ определения таких параметризаций рассмотрен в [4]. Задавшись новой сеткой $\tilde{\Delta}_t$ и $\tilde{\Delta}_s$ в каждой из полученных областей $\tilde{\Omega} \subset \Omega$, рассчитываем соответствующий каркас на поверхностях всасывания и нагнетания. Объединяя их с каркасами входной и выходной поверхностей, получаем общий каркас поверхности лопасти. Последний шаг - восстановление поверхности лопасти W -сплайном.

В заключение отметим, что предлагаемая методика предъявляет определенные требования к выбору параметризаций поверхностей всасывания и нагнетания, а именно: меридианные проекции координатных линий $t = \text{const}$ для обеих поверхностей должны быть достаточно близкими. Варьируя размер зон входных и выходных поверхностей и распределение их радиусов нормальных кривизн, получим удовлетворяющую с точки зрения физических характеристик поверхность лопасти.

В качестве примера на рис.6 приведены совмещенные сечения плоскостью $z = \text{const}$ всей поверхности лопасти радиально-осевой

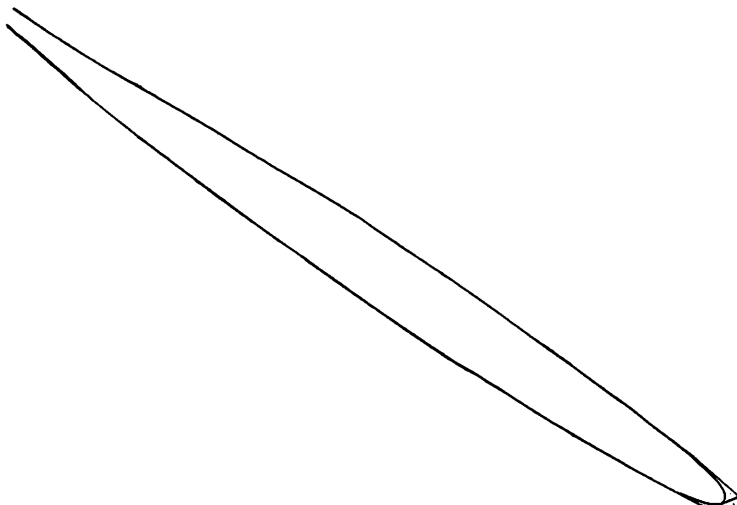


Рис.6. Совмещенные плоские сечения всей поверхности лопастей и ее заготовки.

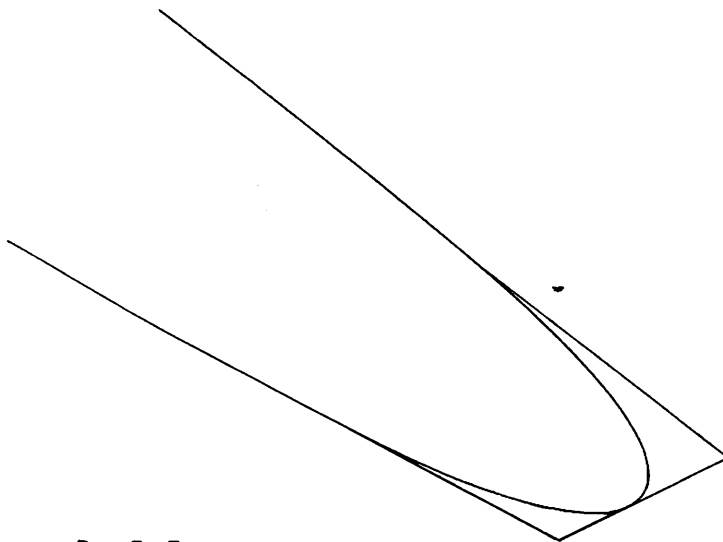


Рис.7. Плоские сечения поверхности лопастей и ее заготовки в районе входной поверхности.

гидротурбины и поверхностей ее заготовки. На рис.7 выделен район входной поверхности этих сечений.

Л и т е р а т у р а

1. ЗАВЬЯЛОВ Ю.С., ЛЕУС В.А., СКОРОСПЕЛОВ В.А. Сплаины в инженерной геометрии. - М.: Машиностроение, 1985. - 223 с.

2. ПАВЛОВ Н.Н., СКОРОСПЕЛОВ В.А. Аппроксимация поверхностей лопасти гидротурбины //Методы сплайн-функций. - Новосибирск, 1977. - Вып. 75: Вычислительные системы. - С. 56-64.

3. ФОКС А., ПРАТТ М. Вычислительная геометрия. Применение в проектировании и на производстве: Пер. с англ. -М.: Мир, 1982.- 304 с.

4. СКОРОСПЕЛОВ В.А. Точки, кривые и области на поверхности //Сплайн-аппроксимация и численный анализ. - Новосибирск, 1985. - Вып. 108: Вычислительные системы. - С. 94-100.

Поступила в ред.-изд.отд.
18 апреля 1987 года